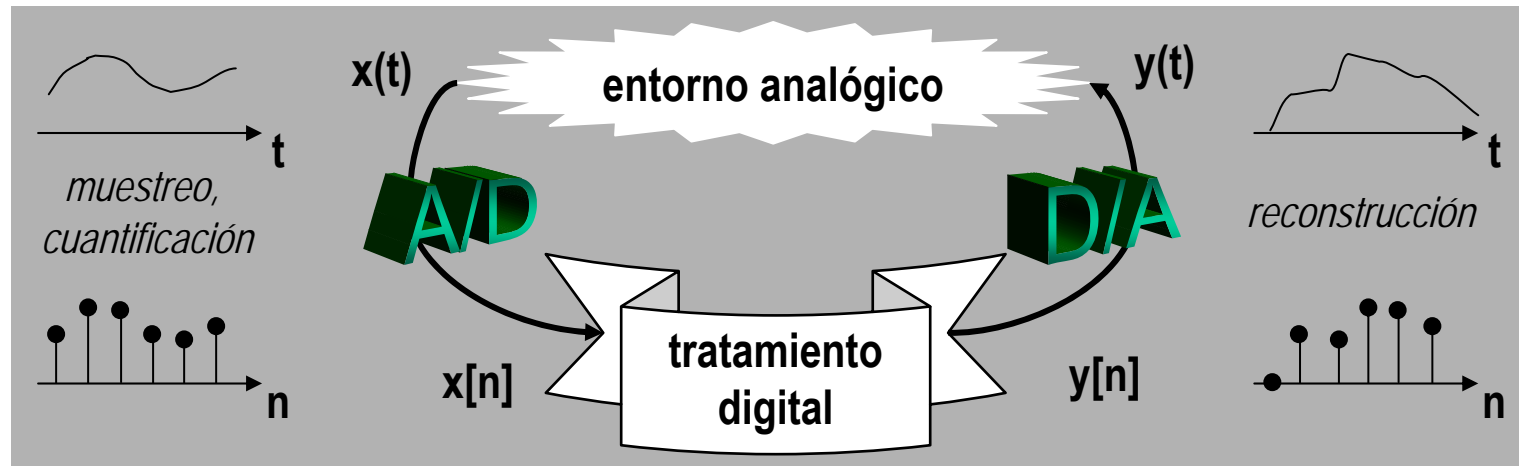
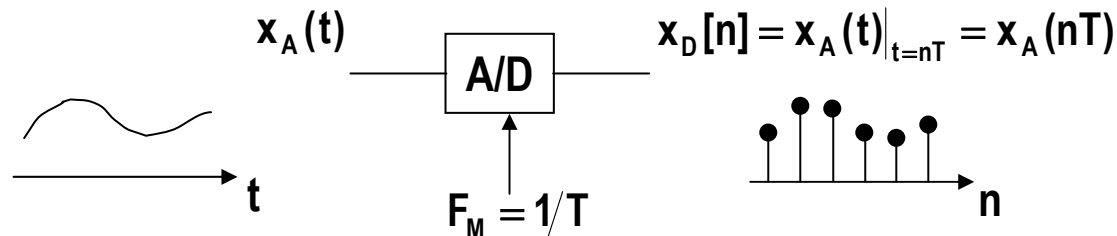


# 3.1: Muestreo y reconstrucción de señales analógicas

- ◆ Muestreo
- ◆ Reconstrucción
  - Conversión D/A ideal: Teorema de muestreo
  - Conversión D/A práctica



# Muestreo de señales analógicas



## ◆ Relación entre las transformadas

$$X_A(j\Omega) = \int_{-\infty}^{\infty} x_A(t) e^{-j\Omega t} dt$$

$$X_D(e^{j\omega}) = \sum_{n=-\infty}^{\infty} x_D[n] e^{-j\omega n} \stackrel{\substack{= \\ \uparrow \\ \omega = \Omega T \\ x_D[n] = x_A(nT)}}{=} \sum_{n=-\infty}^{\infty} x_A(nT) e^{-j\Omega T n} =$$

$$= F \left\{ x_A(t) \sum_{n=-\infty}^{\infty} \delta(t - nT) \right\} \stackrel{\substack{= \\ \uparrow \\ \text{prod.} \xleftarrow{F} \text{conv.}}}{=} \frac{1}{2\pi} X_A(j\Omega) * \frac{2\pi}{T} \sum_{k=-\infty}^{\infty} \delta(j\Omega - j\frac{2\pi}{T}k) =$$

$$= \frac{1}{T} \sum_{k=-\infty}^{\infty} X_A(j\Omega - j\frac{2\pi}{T}k) = \frac{1}{T} \sum_{k=-\infty}^{\infty} X_A(j\Omega - j\Omega_m k)$$

# Espectro de la señal muestreada

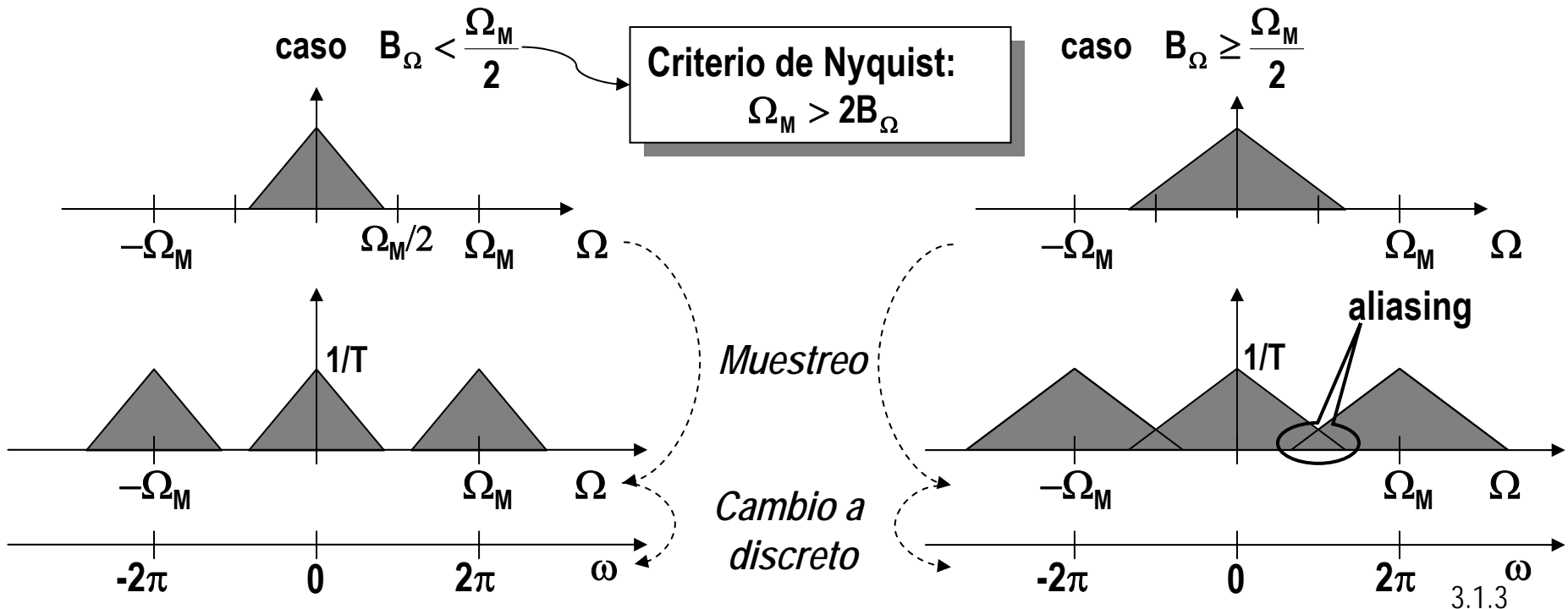
◆ Conversión: 
$$X_D(e^{j\Omega T}) = \frac{1}{T} \sum_{k=-\infty}^{\infty} X_A(j\Omega - j\Omega_M k)$$

◆ Señal de banda limitada:  $X_A(j\Omega) = 0$  para  $|\Omega| \geq B_\Omega$

caso  $B_\Omega < \frac{\Omega_M}{2}$

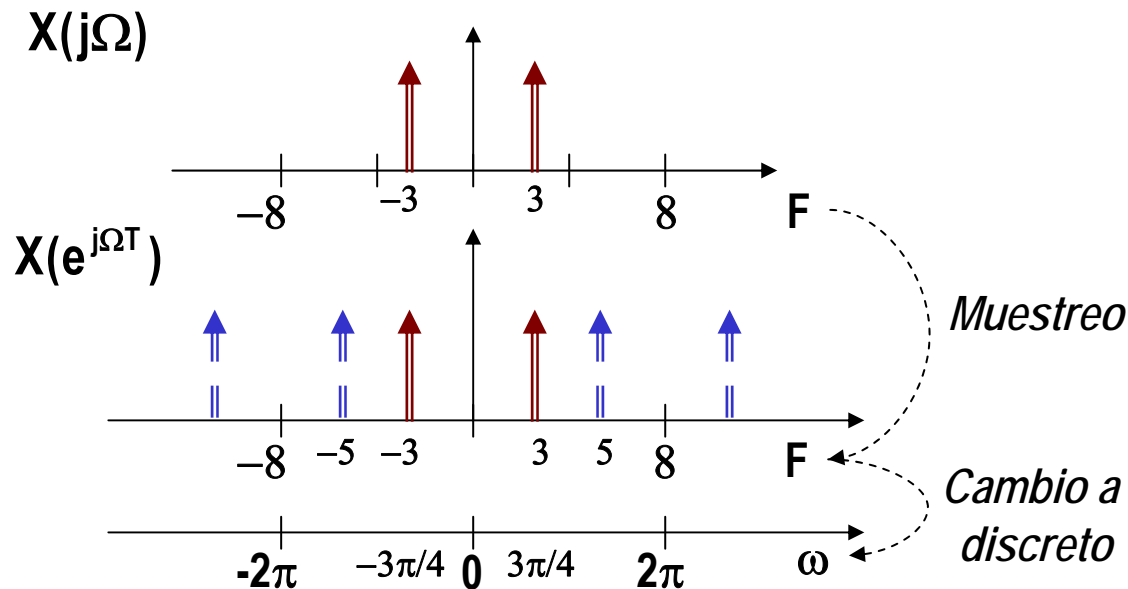
**Criterio de Nyquist:**  
 $\Omega_M > 2B_\Omega$

caso  $B_\Omega \geq \frac{\Omega_M}{2}$

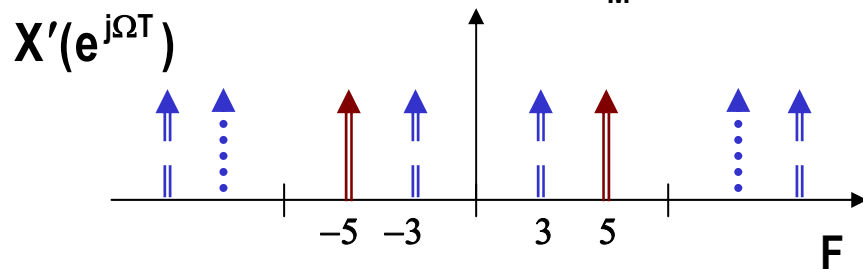


# Muestreo de una senoide

- ◆ Senoide de frecuencia  $F=3\text{kHz}$  muestreada a  $F_M=8\text{kHz}$

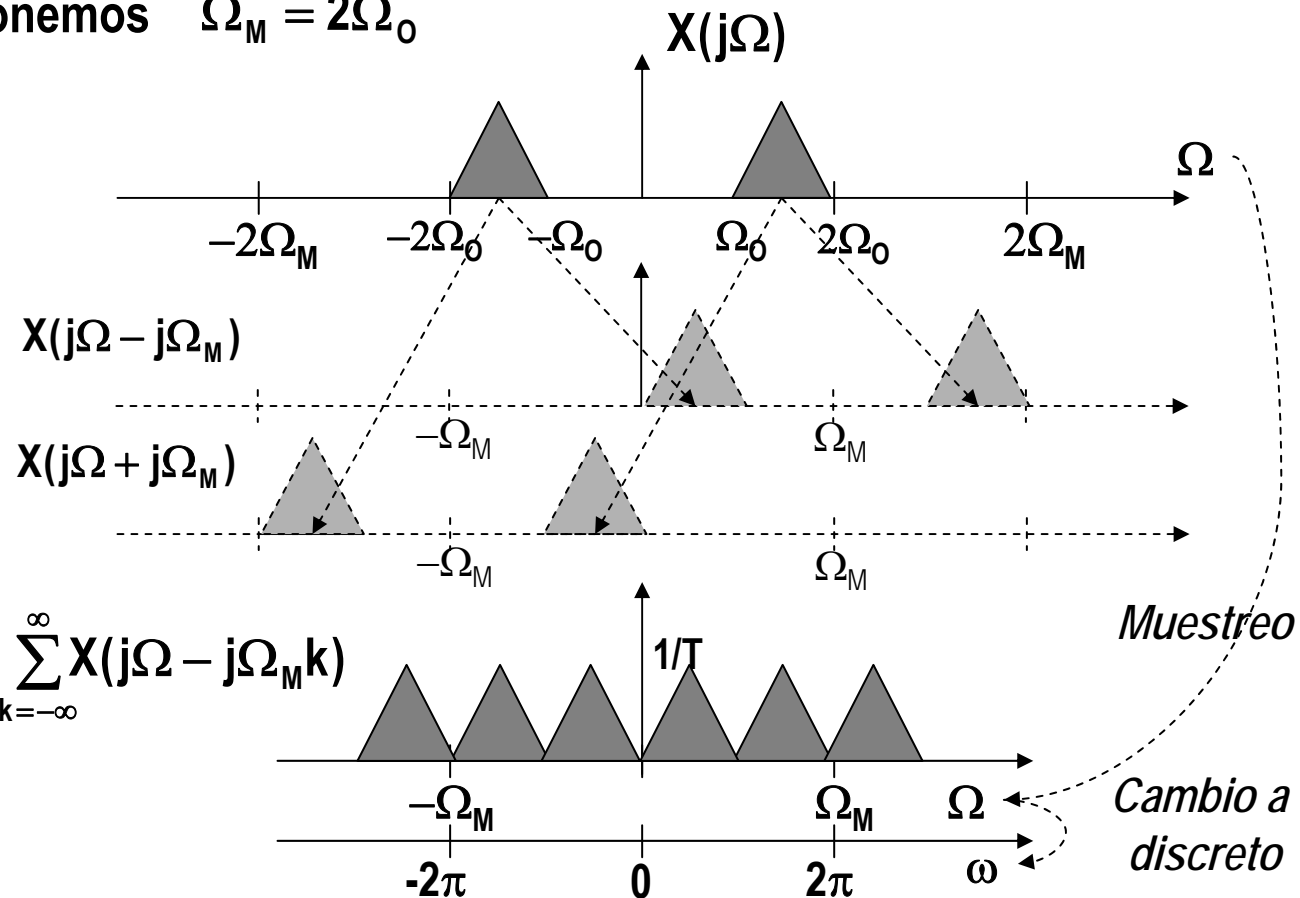


- ◆ indistinguible de  $F=5\text{kHz}$  muestreada a  $F_M=8\text{kHz}$

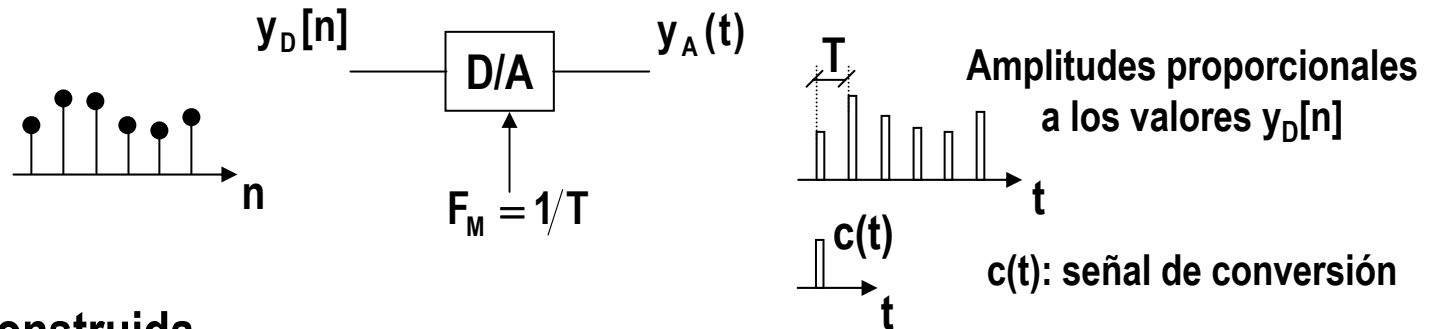


# Muestreo de una señal paso-banda

- ◆ Señal paso banda:  $X(j\Omega) = 0$  para  $|\Omega| < \Omega_0$  y  $|\Omega| > 2\Omega_0$   
 suponemos  $\Omega_M = 2\Omega_0$



# Reconstrucción de señales analógicas



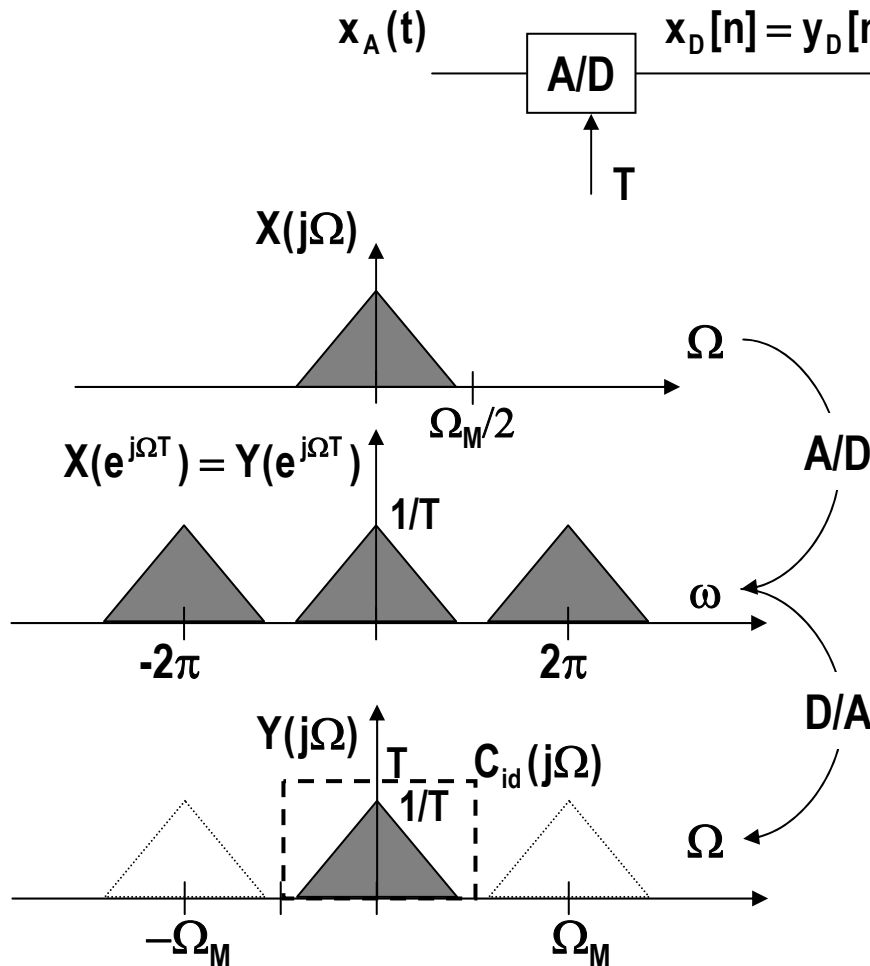
## ◆ Señal reconstruida

$$y_A(t) = \sum_{n=-\infty}^{\infty} y_D[n] \cdot c(t - nT)$$

$$\begin{array}{c} \uparrow \\ FT \\ Y_A(j\Omega) = \sum_{n=-\infty}^{\infty} y_D[n] \cdot C(j\Omega) e^{-j\Omega T n} \end{array} \quad \begin{array}{c} \uparrow \\ \omega = \Omega T, FT \end{array} \quad = \quad C(j\Omega) Y_D(e^{j\Omega T})$$

La señal analógica reproduce la transformada de Fourier de la señal discreta modificada por la transformada de la señal de conversión:  $C(j\Omega)$

# Conversión D/A ideal: Teorema de muestreo



Suponemos que la conversión A/D  
satisface el criterio de Nyquist,  $\Omega_M > 2B_\Omega$

Dado que  $Y_A(j\Omega) = C(j\Omega)Y_D(e^{j\Omega T})$   
para que  $x(t) = y(t)$  ( $X(j\Omega) = Y(j\Omega)$ )

la señal de conversión ideal sería:

$$C_{id}(j\Omega) = \begin{cases} T & -\Omega_M/2 < \Omega < \Omega_M/2 \\ 0 & \text{resto} \end{cases}$$

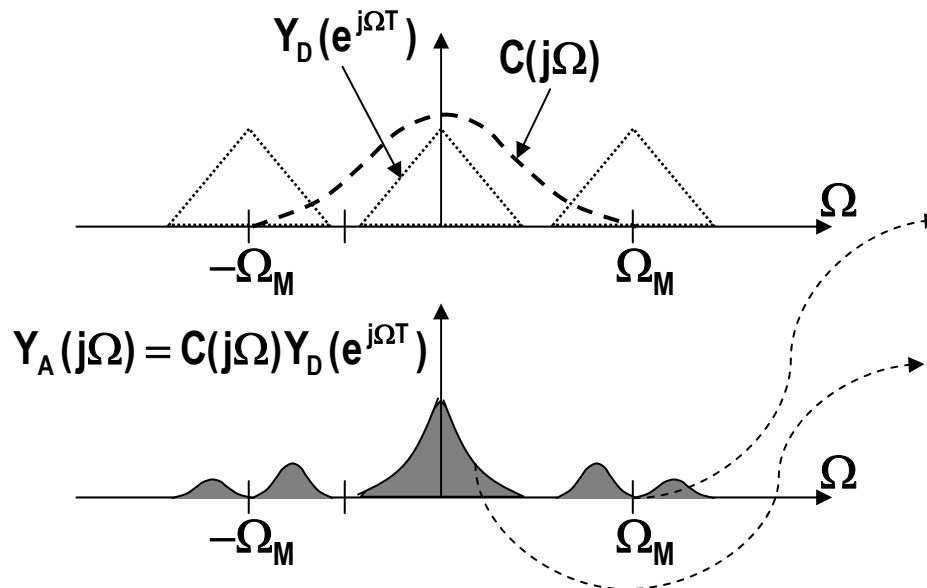
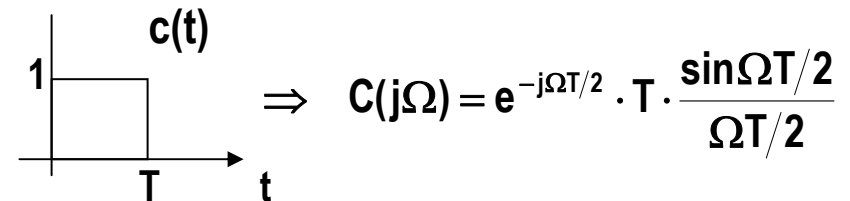
pero

$$c_{id}(t) = FT^{-1}\{C_{id}(j\Omega)\} = \frac{\sin \Omega_M t/2}{\Omega_M t/2}$$

es no causal y de duración infinita! 3.1.7

# Conversión D/A práctica

- ◆ Señal de conversión causal y simple:

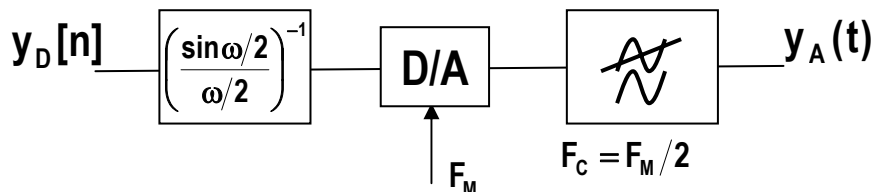


- ◆ Eliminación deficiente de alias  
⇒ necesidad del filtro reconstructor

- ◆ Distorsión del espectro  
⇒ compensar antes de la conv. D/A

$$H_{\text{pred}}(e^{j\omega}) = \left( \frac{\sin \omega/2}{\omega/2} \right)^{-1}$$

(filtro de predistorsión)

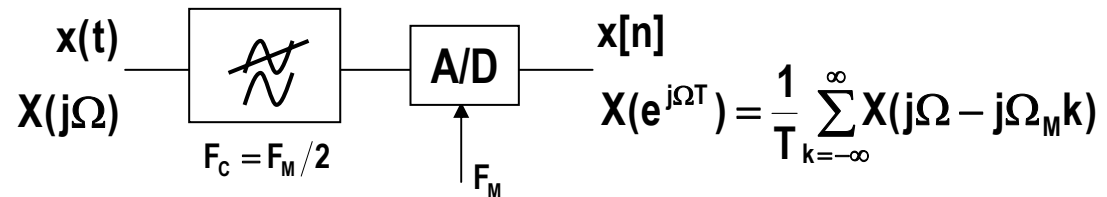




# Resumen

---

## ◆ Muestreo



## ◆ Reconstrucción

